

Bachelorarbeit mit dem Thema

**Implementierung und experimentelle  
Untersuchung von Parallelem  
Global-Curveball zur Randomisierung  
Massiver Bipartiter Graphen**

verfasst von:

MARIUS HAGEMANN

Matrikelnummer 5732742

10. März 2020

Betreuer:

Prof. Dr. Ulrich Meyer

Manuel Penschuck

Goethe-Universität Frankfurt am Main

Fachbereich Informatik



Bitte dieses Formular zusammen mit der Abschlussarbeit abgeben!

## **Erklärung zur Abschlussarbeit**

**gemäß § 25, Abs. 11 der Ordnung für den Bachelorstudiengang Informatik  
vom 06. Dezember 2010:**

Hiermit erkläre ich Herr / Frau

---

Die vorliegende Arbeit habe ich selbstständig und ohne Benutzung  
anderer als der angegebenen Quellen und Hilfsmittel verfasst.

Frankfurt am Main, den

---

Unterschrift der Studentin / des Studenten



# Inhaltsverzeichnis

<b>1</b>	<b>Einleitung</b>	<b>9</b>
<b>2</b>	<b>Grundlagen</b>	<b>11</b>
2.1	Mathematische Definitionen . . . . .	11
2.2	NetworKit . . . . .	12
2.3	Global Curveball auf bipartiten Graphen . . . . .	13
2.4	Datenstruktur . . . . .	15
<b>3</b>	<b>Implementierung eines Curveball Tausches</b>	<b>17</b>
3.1	Bestimmung der disjunkten Nachbarschaft . . . . .	17
3.2	Tauschen der Nachbarn . . . . .	20
3.3	Curveball Tausch . . . . .	22
<b>4</b>	<b>Experimentelle Untersuchung</b>	<b>25</b>
4.1	Versuchsaufbau . . . . .	25
4.2	Messung . . . . .	26
4.3	Auswertung . . . . .	26
4.4	Diskussion der Ergebnisse . . . . .	30
4.5	Auswahl der besten Variante . . . . .	31
4.6	Vergleich zum Standard Curveball . . . . .	32
<b>5</b>	<b>Fazit und Ausblick</b>	<b>35</b>



# Abstract

Ziel dieser Bachelorarbeit ist es, einen effizienten Algorithmus zur Randomisierung massiver bipartiter Graphen zu entwickeln. Die Graph Randomisierung ist vor allem zur Analyse von großen Netzwerken eine häufig verwendete Methode. Dazu wurde das Konzept des Global-Curveball auf bipartiten Graphen angepasst. Es werden verschiedene Algorithmen zur Umsetzung diskutiert. Anhand von Benchmarks wird unter den getesteten Methoden diejenige ausgewählt, welche die geringste Laufzeit aufweist. Im Vergleich zu dem schon existierenden Curveball Algorithmus wird mit dem in dieser Arbeit entwickelten Algorithmus auf manchen Testinstanzen ein Speedup von bis zu 17 auf einem Prozessor mit 8 Kernen und Hyperthreading erreicht. Selbst ohne Parallelisierung wird mit einer sequenziellen Version des bipartiten Global-Curveball ein Speedup von bis zu 2 gegenüber Curveball erreicht.





# 1 Einleitung

Bei der Analyse komplexer Netzwerke, wie beispielsweise soziale Netzwerke, werden die zugrundeliegenden Graphen häufig mit zufälligen Graphen verglichen, um deren Struktur zu untersuchen [7].

Zum Erzeugen von zufälligen Graphen existieren diverse Modelle wie beispielsweise der Erdős-Rényi-Graph [8] oder der Gilbert-Graph [9]. Diese Graphen weisen jedoch in der Regel kaum eine Ähnlichkeit zu dem zu analysierenden Netzwerk auf. Deshalb verwendet man Zufallsgraphen, die zu einem gegebenen Graphen eine identische Gradsequenz besitzen. Im Zufallsgraph soll also jeder Knoten denselben Grad haben wie im originalen Graph.

Ein Algorithmus, welcher diese Eigenschaft erfüllt, ist beispielsweise Curveball [6]. Hierbei wird ein Graph randomisiert, indem eine Sequenz an lokalen Modifikationen ausgeführt wird [11]. Diese lokalen Modifikationen werden als Curveball Tausch bezeichnet. Bei einem Curveball Tausch werden von zwei zufälligen Knoten die disjunkten Nachbarschaften zufällig durchgetauscht, damit bleiben die Knotengrade unverändert. Um den Graph zu randomisieren, werden einige dieser Curveball Tausche hintereinander auf jeweils zufälligen Knoten ausgeführt. Um sicherzugehen, dass alle Knoten Teil eines Curveball Tausches waren, werden auf diese Weise in Erwartung  $\Theta(n \log(n))$  Curveball Tausche benötigt [7]. Um dies zu umgehen, wurde eine Erweiterung namens Global-Curveball [7] eingeführt. Ein Global-Curveball Tausch ist ein „Super-Schritt“ [11], in dem mehrere Curveball Tausche auf jeweils unterschiedlichen Knoten nacheinander ausgeführt werden, sodass möglichst jeder Knoten Teil eines solchen Tausches ist. Somit werden lediglich  $\Theta(n)$  viele Curveball Tausche benötigt, damit möglichst alle Knoten abgedeckt sind.

Ziel dieser Bachelorarbeit ist die Anpassung von Global-Curveball an bipartite Graphen zur Reduzierung der Laufzeit. Zum einen werden die reduzierten Abhängigkeiten in bipartiten Graphen ausgenutzt, sodass Teile des originalen Global-Curveball Algorithmus vereinfacht werden können. Zum anderen ist es möglich, einzelne Curveball Tausche parallel auszuführen. Auf diese Weise soll —wie bereits erwähnt— eine deutlich geringere Laufzeit im Vergleich zu dem ursprünglichen Global-Curveball Algorithmus erreicht werden. Der neu entwickelte Algorithmus wird unter dem Namen `BipartiteGlobalCurveball` Teil des Open-Source Projekt `NetworKit` werden.

Zu Beginn dieser Arbeit werden die wichtigsten Begriffe und mathematischen Grundlagen definiert. Im Anschluss werden verschiedene Algorithmen zur Umsetzung von Global-

## *1 Einleitung*

Curveball aufgezeigt und unter Einbeziehung theoretischer Aspekte miteinander verglichen. Mit Hilfe von Benchmark-Tests wird schließlich die Methode ausgewählt, welche die geringste Laufzeit aufweist. Die neu entwickelte Variante **BipartiteGlobalCurveball** wird abschließend mit dem existierenden Curveball verglichen.

## 2 Grundlagen

### 2.1 Mathematische Definitionen

Zu Beginn definieren wir die grundlegenden mathematischen Begriffe. Als wichtigste Grundlage dient hierbei das Konzept des ungerichteten Graphen.

**Definition 2.1** (Graph).

Ein (ungerichteter) **Graph**  $G = (V, E)$  ist ein Tupel bestehend aus einer Knotenmenge  $V$  und einer Kantenmenge  $E$ . Eine Kante verbindet zwei Knoten miteinander und ist damit eine Menge aus zwei Knoten. Es gilt  $E \subseteq \{\{u, v\} \mid u, v \in V\}$ . Eine Kante  $e = \{u, u\} \in E$  wird als **Eigenschleife** bezeichnet.

**Definition 2.2** (Multigraph).

Ein **Multigraph**  $G$  ist ein Graph, in dem zwischen zwei Knoten mehrere Kanten existieren können. Gibt es zwischen zwei Knoten mehrere Kanten, werden diese als **Multikanten** bezeichnet.

In dieser Arbeit spielen bipartite Graphen eine zentrale Rolle. Bei einem bipartiten Graphen kann man die Knotenmenge in zwei Teilmengen teilen, sodass alle Kanten nur zwischen den beiden Mengen verlaufen, jedoch nicht innerhalb einer Menge.

**Definition 2.3** (bipartiter Graph).

Ein Graph  $G = (V, E)$  heißt **bipartit**, wenn es Teilmengen  $V_1 \subset V$  und  $V_2 \subset V$  gibt, für die  $V_1 \cup V_2 = V$  und  $V_1 \cap V_2 = \emptyset$  gilt, sodass für jede Kante  $e \in E$  ein  $u \in V_1$  und ein  $v \in V_2$  existiert, sodass  $e = \{u, v\}$  gilt. Die Knotenmengen  $V_1$  und  $V_2$  werden auch als Partitionsklassen bezeichnet.

Ein Beispiel für einen bipartiten Graphen ist in Abbildung 2.1 dargestellt. Dabei gilt für die Partitionsklassen:  $V_1 = \{v_1, v_2, v_3\}$  und  $V_2 = \{v_4, v_5, v_6\}$ . Man sieht deutlich, dass alle Kanten die Partitionsklassen  $V_1$  und  $V_2$  „kreuzen“. Weiterhin ist vor allem der Begriff der Nachbarschaft —genauer der gemeinsamen und disjunkten Nachbarschaft— entscheidend.

**Definition 2.4** (Nachbarschaft).

Ein Knoten  $u \in V$  heißt **benachbart** (oder **adjazent**) zu einem anderen Knoten  $v \in V$ , wenn es eine Kante  $\{u, v\} \in E$  gibt. Die Menge  $N(u)$  aller adjazenten Knoten von  $u$  nennt man **Nachbarschaft**.

**Definition 2.5** (gemeinsame und disjunkte Nachbarschaft).

Die **gemeinsame** Nachbarschaft  $N_c(u, v)$  zweier Knoten  $u$  und  $v$  ist die Menge aller Knoten, die sowohl zu  $u$  als auch zu  $v$  adjazent sind. In der **disjunkten** Nachbarschaft  $N_d(u, v)$

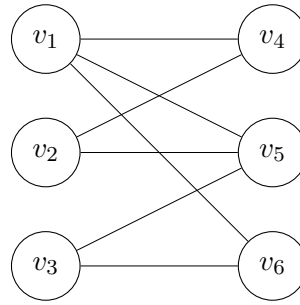


Abbildung 2.1: Beispiel eines bipartiten Graphen

von  $u$  und  $v$  sind dagegen alle Knoten, die nur zu einem der beiden Knoten adjazent sind. Es gilt also  $N_c(u, v) = N(u) \cap N(v)$  und  $N_d(u, v) = [N(u) \cup N(v)] \setminus [N(u) \cap N(v)]$ . Weiterhin gilt  $N_c(u, v) \cap N_d(u, v) = \emptyset$  und  $N_c(u, v) \cup N_d(u, v) = N(u) \cup N(v)$ . Jeder Knoten  $x \in [N(u) \cup N(v)]$  aus den beiden Nachbarschaften liegt also entweder in der gemeinsamen oder in der disjunkten Nachbarschaft.

Dabei bemerken wir, dass in einem bipartiten Graphen zwei Knoten aus einer Partitionsklasse nie in der gegenseitigen Nachbarschaft liegen können. Diesen Fakt werden wir beim Bipartiten Global-Curveball ausnutzen. Zuletzt sind noch die Begriffe Knotengrad und Gradsequenz relevant.

**Definition 2.6** (Knotengrad).

Der **Grad** eines Knotens  $v \in V$  wird mit  $\deg(v)$  bezeichnet und entspricht der Anzahl der adjazenten Knoten von  $v$ . Es gilt also  $\deg(v) = |N(v)|$  für alle Knoten  $v \in V$ .

**Definition 2.7** (Gradsequenz).

Die **Gradsequenz** eines Graphen  $G = (V, E)$  mit der Knotenmenge  $V = \{v_1, \dots, v_n\}$  ist gegeben durch das Tupel  $D = (d_1, \dots, d_n)$ , wobei  $d_i = \deg(v_i)$  dem Grad des Knotens  $v_i$  entspricht.

Im bipartiten Graph aus Abbildung 2.1 hat beispielsweise der Knoten  $v_1$  den Grad  $\deg(v_1) = 3$ . Für die Gradsequenz des Graphen gilt:  $D = (3, 2, 2, 2, 3, 2)$ .

## 2.2 NetworKit

NetworKit [12] ist ein Open-Source Projekt, welches zum Ziel hat, Werkzeuge für die Analyse großer Netzwerke in den Größenordnungen von Tausenden bis Milliarden von Kanten zur Verfügung zu stellen. Dazu werden effiziente Graph Algorithmen implementiert, wobei viele parallelisiert sind, um sie auf Multicore Architekturen zu nutzen [3]. NetworKit ist ein Python Modul, wobei die meisten Algorithmen aus Gründen der Performance in C++ programmiert sind. Für die Parallelisierungen wird in der Regel OpenMP [4] verwendet.

Mit NetworKit lassen sich in einfacher Art und Weise Graphen erstellen und verschiedene Algorithmen auf ihnen ausführen. So können beispielsweise Standardalgorithmen wie Breitensuche, Tiefensuche oder Dijkstras Algorithmus ausgeführt werden. Zum Randomisieren

von Graphen sind in NetworKit unter anderem die in der Einleitung schon genannten Algorithmen Curveball und Global-Curveball implementiert. Der in dieser Arbeit entwickelte bipartite Global-Curveball wird schließlich zu NetworKit hinzugefügt werden.

## 2.3 Global Curveball auf bipartiten Graphen

Global-Curveball ist ein Verfahren zum Randomisieren von Graphen. Die Aufgabe liegt also darin, bei einer gegebenen Gradsequenz  $D$ , eine uniform verteilte Stichprobe aus der Menge aller Graphen mit Gradsequenz  $D$  zurückzugeben. Durch das Ausführen von Global-Curveball bleibt also für jeden Knoten  $v \in V$  sein Grad  $\deg(v)$  erhalten.

Bipartiter Global-Curveball operiert auf einfachen bipartiten Graphen. Somit ist sowohl der Eigabegraph als auch der Ausgabegraph bipartit. Insbesondere gibt es damit keine Eigenschleifen und Multikanten. Weiterhin entstehen dadurch Vorteile, die algorithmisch ausgenutzt werden können. Zuerst behandeln wir jedoch einen einzelnen Curveball, welcher die Grundlage eines jeden Global-Curveball darstellt.

**Curveball** ist ein Prozess, bei dem Kanten zufällig getauscht werden. Bei einem Curveball Tausch werden zwei verschiedene Knoten  $u$  und  $v$  ( $u \neq v$ ) zufällig uniform verteilt ausgewählt und deren Nachbarschaft zufällig durchmischt. Dabei muss jedoch darauf geachtet werden, dass durch dieses zufällige Mischen, die Eigenschaft des bipartiten Graphen nicht verletzt wird. Ebenfalls dürfen keine Multikanten entstehen. Deshalb werden bei der bipartiten Variante von Curveball die Knoten  $u$  und  $v$  immer beide aus der gleichen Partitionsklasse gezogen. Auf diese Weise ist sichergestellt, dass es keine Kante zwischen  $u$  und  $v$  gibt. Somit sind die beiden Knoten nicht in der jeweils anderen Nachbarschaft enthalten, es gilt folglich  $u \notin N(v)$  und  $v \notin N(u)$ . Dadurch können bei einem Durchmischen der Nachbarschaft also keine Eigenschleifen entstehen. Wird jedoch die vollständige Nachbarschaft durchmischt und wieder auf  $N(u)$  und  $N(v)$  aufgeteilt, könnte es passieren, dass Multikanten entstehen. Dies geschieht genau dann, wenn ein Knoten aus der gemeinsamen Nachbarschaft getauscht wird, sodass er danach in einer der Nachbarschaften doppelt vorkommt. Um dies zu vermeiden werden ausschließlich die Knoten aus der disjunkten Nachbarschaft  $N_d(u, v)$  getauscht. Ein Beispiel für solch einen Tausch ist in Abbildung 2.2 gegeben.

Ein **Global-Curveball Tausch** besteht aus mehreren Curveball Tauschen, wobei möglichst jeder Knoten Teil eines solchen Curveball Tausches sein soll. Im Fall von bipartiten Graphen reicht es jedoch aus, wenn die Curveball Tausche lediglich auf den Knoten aus einer der beiden Partitionsklassen ausgeführt werden. Dies liegt daran, dass in bipartiten Graphen alle Kanten die Partitionen kreuzen. Somit werden durch die Curveball Tausche auf den Knoten der einen Partitionsklasse auch die Nachbarschaften der Knoten aus der anderen Partitionsklasse geändert. Die Partitionsklasse auf der die Curveball Tausche aus-

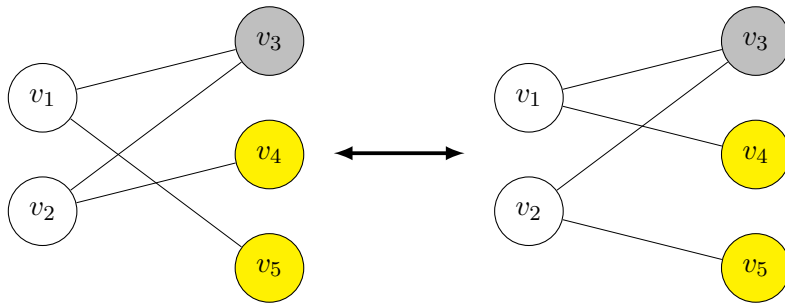


Abbildung 2.2: Auf einem der beiden Graphen wird ein Curveball Tausch auf den Knoten  $v_1$  und  $v_2$  ausgeführt. Für die grau markierte gemeinsame Nachbarschaft gilt  $N_c(v_1, v_2) = \{v_3\}$ , die disjunkte Nachbarschaft  $N_d(v_1, v_2) = \{v_4, v_5\}$  ist in gelber Farbe gekennzeichnet. In diesem Beispiel gibt es nur die zwei dargestellten Graphen, die durch Tauschen der disjunkten Nachbarschaft entstehen können. Ein Curveball Tausch würde jeweils mit Wahrscheinlichkeit 0.5 einen der beiden Graphen zurückgeben.

geführt werden, wird als **aktive Partitionsklasse** bezeichnet.

Wir können hierbei nochmals ausnutzen, dass der Eingabegraph bipartit ist. Da es innerhalb der aktiven Partitionsklasse keine zwei Knoten gibt, welche durch eine Kante miteinander verbunden sind, wird bei einem Curveball Tausch auf beliebigen Knoten  $u$  und  $v$  der aktiven Partitionsklasse die Nachbarschaft eines anderen Knotens  $x$  der gleichen Partitionsklasse nicht verändert. Somit „überschneiden“ sich die einzelnen Curveball-Tausche nicht. Man kann sie daher zeitgleich, also parallel, ausführen. Diese Parallelität führt zu einem Laufzeitvorteil.

Der hauptsächliche Unterschied zwischen allgemeinem Global-Curveball und dem auf bipartiten Graphen liegt also darin, dass die einzelnen Curveball Tausche nur auf der jeweils aktiven Partitionsklasse ausgeführt werden und sich gegenseitig nicht beeinflussen, weshalb sie vollständig parallel behandelt werden können.

Im vollständigen Randomisierungs-Algorithmus werden schließlich mehrere solcher Global-Curveball Tausche nacheinander durchgeführt. Die genaue Anzahl lässt sich beim Aufrufen des Algorithmus durch einen Parameter festlegen.

Um zu zeigen, dass das mehrfache Anwenden vom Bipartiten Global-Curveball eine uniform verteilte Stichprobe aller Graphen mit gleicher Gradsequenz erzeugt, kann man das Verfahren als Markov-Kette interpretieren. Dabei entsprechen die Zustände allen Graphen, deren Gradsequenz mit der des Ursprungsgraphen identisch ist. Zwischen zwei Zuständen gibt es genau dann einen Übergang, wenn die beiden Graphen durch einen Global-Curveball-Tausch ineinander überführbar sind. Diese Markov-Kette ist aperiodisch, irreduzibel und symmetrisch [11]. Ebenso ist die Markov-Kette endlich, da die Anzahl an

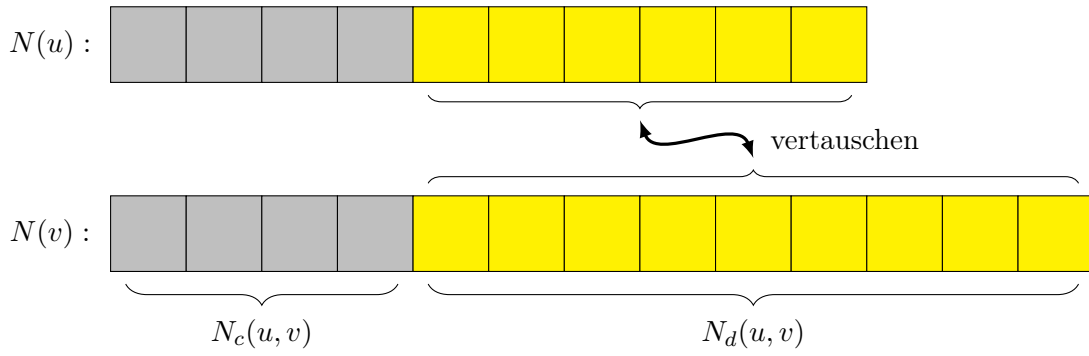


Abbildung 2.3: Skizze eines Curveball-Tausches auf den Arrays

Graphen mit gegebener Gradsequenz beschränkt ist. Solche Markov-Ketten konvergieren nach hinreichend vielen Schritten zu einer uniformen Verteilung auf den Zuständen [5].

## 2.4 Datenstruktur

In NetworKit werden Graphen in einer eigenen Datenstruktur gespeichert. Dabei handelt es sich um eine Art Adjazenzlistendarstellung, bei der für jeden Knoten in einem Array die Nachbarn gespeichert sind.

Da wir jedoch ausschließlich auf bipartiten ungerichteten Graphen arbeiten, können wir eine einfachere Datenstruktur nutzen. Dazu transformieren wir den Graph, indem wir in einem Array für jeden Knoten aus einer der beiden Partitionsklassen ein Array speichern, welches die jeweilige Nachbarschaft des Knotens enthält. Diese wird die aktive Partitionsklasse sein, auf der die Curveball Tausche ausgeführt werden. Welche der beiden Partitionsklassen ausgewählt wird, bleibt dem Nutzer überlassen. Dabei ist es in der Regel sinnvoll, die Klasse mit der geringeren Anzahl an Knoten zu wählen, da auf diese Weise weniger Curveball Tausche auszuführen sind. Es könnte jedoch auch Fälle geben, in denen es sinnvoll ist, die größere Partitionsklasse zu wählen. Weiterhin werden in einem zusätzlichen Array alle Knoten aus der aktiven Partition gespeichert. Dieses wird im Folgenden als Partitions-Array bezeichnet.

Sei  $V_A$  die ausgewählte Partitionsklasse. Dann gibt es also für jeden Knoten  $v \in V_A$  ein Array, welches die Elemente aus  $N(v)$  enthält. Zusätzlich sind die Knoten aus  $V_A$  im Partitions-Array gespeichert. Mit dieser Datenstruktur lassen sich effizient zwei zufällige Knoten der aktiven Partitionsklasse auswählen, die disjunkten und gemeinsamen Nachbarschaften berechnen und Knoten aus der disjunkten Nachbarschaft tauschen.

Abbildung 2.3 illustriert, wie ein Curveball Tausch in der Datenstruktur —also den beiden Arrays— aussieht. Dabei werden zuerst die Elemente der beiden Vektoren in gemeinsame und disjunkte Nachbarschaft aufgeteilt. Die gemeinsame Nachbarschaft ist wieder

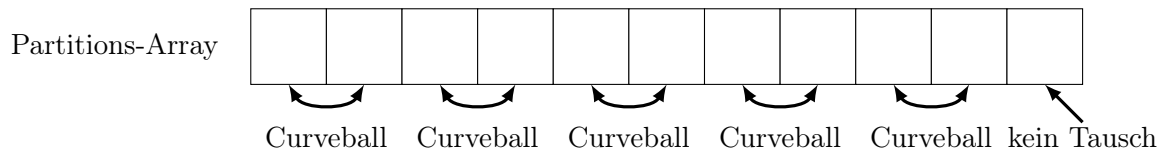


Abbildung 2.4: Global-Curveball auf dem zufällig permutierten Partitions-Array

in grau gekennzeichnet, die disjunkte Nachbarschaft in gelb. Bei einem Curveball Tausch bleiben dann die Elemente der gemeinsamen Nachbarschaft unverändert, während die Elemente aus der disjunkten Nachbarschaft zufällig zwischen den beiden Arrays getauscht werden.

In Abbildung 2.4 ist eine Skizze für einen Global-Curveball Tausch auf dem Partitions-Array gegeben. Dazu wird das Array zuerst zufällig permutiert, sodass jedes Element an einer zufälligen Position steht. Dann wird jeweils unabhängig ein Curveball Tausch auf den Elementen eins und zwei, drei und vier, usw. ausgeführt. Durch das zufällige Permutieren des Arrays zu Beginn wird also jeder der Curveball-Tausche auf zwei zufälligen Knoten ausgeführt. Hat das Partitions-Array eine ungerade Anzahl an Elementen, bleibt am Ende ein Element übrig, welches nicht Teil von einem Curveball Tausch ist.



## 3 Implementierung eines Curveball Tausches

Wie bereits in Kapitel 2.3 erwähnt, muss die disjunkte Nachbarschaft der beiden Knoten  $u$  und  $v$  bekannt sein, um einen Curveball Tausch auf diesen Knoten  $u$  und  $v$  auszuführen. Der Curveball Tausch besteht dann darin, diese Knoten aus  $N_d(u, v)$  zu durchmischen. Deshalb beschäftigen wir uns zuerst damit wie man die disjunkte Nachbarschaft bestimmt.

### 3.1 Bestimmung der disjunkten Nachbarschaft

Gesucht sind alle Knoten aus der disjunkten Nachbarschaft der Knoten  $u$  und  $v$ . Nach Definition 2.5 liegt jeder Knoten aus den Nachbarschaften  $N(u)$  und  $N(v)$  entweder in der disjunkten oder in der gemeinsamen Nachbarschaft. Das Ziel besteht also darin, für jeden Knoten aus  $N(u) \cup N(v)$  zu entscheiden, ob er zu  $N_d(u, v)$  oder  $N_c(u, v)$  gehört.

Die Nachbarschaften  $N(u)$  und  $N(v)$  liegen jeweils in einem Array vor (siehe Abschnitt 2.4). Der Übersichtlichkeit wegen werden wir die beiden Arrays ebenfalls mit  $N(u)$  und  $N(v)$  bezeichnen. Aufgabe ist es, für jedes Element aus den beiden Arrays zu entscheiden, ob es entweder in beiden Arrays vorkommt oder nur in einem von den beiden. Dafür gibt es verschiedene algorithmische Ansätze.

Als ersten naiven Ansatz könnte man für jedes Element des Arrays  $N(u)$  das gesamte andere Array  $N(v)$  per linearer Suche nach diesem Element durchsuchen. Hierfür ergibt sich eine Laufzeit von  $\mathcal{O}(|N(u)| \cdot |N(v)|)$ . Dies ist aber nicht sinnvoll, da wir im Falle von massiven Graphen davon ausgehen können, dass die Nachbarschaften groß werden.

Ein Lösungsansatz besteht darin, beide Arrays aufsteigend zu sortieren. Um herauszufinden, welche Werte in beiden Arrays vorkommen, muss man —analog zu Merge— lediglich  $N(u)$  und  $N(v)$  gleichzeitig linear durchlaufen. Somit muss man jedes Element der beiden Arrays —nach dem Sortieren— nur einmal betrachten, was offensichtlich zu einer verbesserten Laufzeit im Vergleich zum naiven Ansatz führt. Man erhält damit eine Laufzeit von  $\mathcal{O}(|N(u)| \cdot \log(|N(u)|) + |N(v)| \cdot \log(|N(v)|))$ . Diese Variante wird im Folgenden als **SortSort** bezeichnet.

Die Laufzeit von **SortSort** wird dabei vom Sortieren dominiert. Daher führen wir eine Variante ein, die wir **vorsortiert** nennen. Bei dieser Variante nehmen wir an, dass die

Arrays immer im sortierten Zustand vorliegen. Somit würde bei **SortSort** das Sortieren wegfallen und man müsste die beiden Arrays nur noch linear durchlaufen. Dies verbessert die Laufzeit auf  $\mathcal{O}(|N(u)| + |N(v)|)$ . Es ist jedoch nicht offensichtlich, dass die Variante zu einer insgesamt besseren Laufzeit eines Curveball Tausches führt, da ein Curveball Tausch schließlich auch noch aus dem Durchmischen der disjunkten Nachbarschaft besteht. Dadurch könnte die angenommene Sortierung verletzt werden, weshalb man am Ende des Curveball Tausches nochmal sortieren müsste.

Wie wir in Kapitel 4.5 sehen werden, ist **SortSort** mit der Vorsortierung Teil der Variante, welche das beste Laufzeitverhalten aufweist. Deswegen gehen wir an dieser Stelle noch einmal genauer auf diese Methode ein, indem wir sie in Pseudocode beschreiben.

---

**Algorithmus 1** SortSort

---

```

1: procedure SORTSORT( $u, v$ )
2:    $U \leftarrow N(u)$  ▷ vorsortierte Nachbarschaft von  $u$ 
3:    $V \leftarrow N(v)$  ▷ vorsortierte Nachbarschaft von  $v$ 
4:    $\text{common} \leftarrow []$  ▷ anfänglich leeres Array der gemeinsamen Nachbarschaft
5:    $\text{disjoint} \leftarrow []$  ▷ anfänglich leeres Array der disjunkten Nachbarschaft
6:    $\text{nu} \leftarrow 0$  ▷ Zähler für  $U$ 
7:    $\text{nv} \leftarrow 0$  ▷ Zähler für  $V$ 
8:   while ( $\text{nu} < |U|$ ) and ( $\text{nv} < |V|$ ) do
9:     if  $U[\text{nu}] < V[\text{nv}]$  then
10:       $\text{disjoint.append}(U[\text{nu}])$  ▷ Füge das Element in disjoint ein
11:       $\text{nu}++$ 
12:     else if  $U[\text{nu}] > V[\text{nv}]$  then
13:       $\text{disjoint.append}(V[\text{nv}])$  ▷ Füge das Element in disjoint ein
14:       $\text{nv}++$ 
15:     else if  $U[\text{nu}] == V[\text{nv}]$  then
16:       $\text{common.append}(U[\text{nu}])$  ▷ Füge das Element in common ein
17:       $\text{nu}++$ 
18:       $\text{nv}++$ 
19:     if  $\text{nu} \neq |U|$  then ▷ Die restlichen Elemente sind disjunkte Nachbarn
20:        $\text{disjoint.append}(U[\text{nu}], U[\text{nu}+1], \dots)$ 
21:     else
22:        $\text{disjoint.append}(V[\text{nv}], V[\text{nv}+1], \dots)$ 
23:   return common, disjoint

```

---

Die Variante **SortSort** lässt sich leicht abwandeln, indem wir nur eines der beiden Arrays sortieren. Auf diese Weise können wir die Laufzeit des einen Sortiervorgangs sparen. Sortieren wir das größere Array (ohne Beschränkung der Allgemeinheit  $N(v)$ ), bezeichnen wir die Variante als **SortSearch**. Um zu erkennen, welche Elemente zur gemeinsamen und

welche zur disjunkten Nachbarschaft gehören, kann man für jeden Knoten aus  $N(u)$  per binärer Suche in logarithmischer Zeit prüfen, ob der Knoten auch in  $N(v)$  vorhanden ist. Damit ergibt sich eine Laufzeit von  $\mathcal{O}(|N(v)| \cdot \log(|N(v)|) + |N(u)| \cdot \log(|N(v)|))$ . Analog dazu nennen wir die Variante, in der das kleinere Array sortiert wird, **SearchSort**. Auch hier könnte die Variante mit Vorsortierung einen Vorteil bringen, da die Laufzeit für das Sortieren entfällt.

Eine weitere Methode, um viele Werte schnell zu durchsuchen, bietet die Datenstruktur **set**, welche einem binären Suchbaum entspricht, **beispielsweise eines Rot-Schwarz-Baums**. Dabei wird jedes Element des einen Arrays in den Suchbaum eingefügt. Für jedes Element des anderen Arrays kann nun in logarithmischer Zeit bestimmt werden, ob es im **set** und somit auch im ursprünglichen Array vorhanden ist. Somit erhält man die identischen asymptotischen Laufzeiten wie bei der Verwendung der binären Suche. Je nach Implementierung des Suchbaums könnte es aber auch zu einer verbesserten Laufzeit führen. Für diese Möglichkeit gibt es ebenfalls zwei analoge Varianten, nämlich **SetSearch**, bei der die Elemente des größeren Arrays in das **set** eingefügt werden und **SearchSet**, bei der das kleinere Array zum **set** hinzugefügt wird. Im Gegensatz zur Methode mit der binären Suche, führt das Verwenden der vorsortierten Variante in diesem Fall nicht zu einer asymptotisch besseren Laufzeit. Dies liegt daran, da es asymptotisch gesehen für das Erstellen eines Binärbaums keinen Unterschied macht, ob die Werte sortiert sind oder nicht. Je nach Implementierung des Suchbaums könnte es trotzdem zu einer Laufzeitvorteil führen, wenn die Nachbarschaften bereits sortiert sind.

Die letzte Methode, die wir an dieser Stelle betrachten werden, ist die Verwendung der Datenstruktur **unordered\_set**. Diese ist **set** sehr ähnlich, jedoch mit dem Unterschied, dass die Werte nicht in geordneter Reihenfolge gespeichert werden, sondern in einer Hash-Tabelle. Ein Vorteil einer Hash-Tabelle liegt darin, dass das Einfügen und Suchen von Elementen erwartet in konstanter Zeit erfolgt. Ebenfalls gibt es hierbei wieder die Varianten, in denen entweder das größere Array in das **unordered\_set** eingefügt wird (**USetSearch**) oder das kleinere (**SearchUSet**). Asymptotisch ergibt sich in beiden Fällen eine erwartete Laufzeit von  $\mathcal{O}(|N(u)| + |N(v)|)$ . Diese Laufzeit hängt jedoch stark von der Implementierung und dem Füllgrad der Hash-Tabelle ab. Schließlich werden wir auch bei den letzten beiden Methoden prüfen, ob die Vorsortierung eventuell zu einer besseren Laufzeit führt.

Zusammenfassend betrachten wir also insgesamt sieben verschiedene Möglichkeiten, um die disjunkte und gemeinsame Nachbarschaft zu berechnen. Für jede dieser Varianten prüfen wir zusätzlich, ob die vorsortierte Variante zu einer verbesserten Laufzeit führt oder ob es sich nicht lohnt, diese aufrechtzuerhalten.

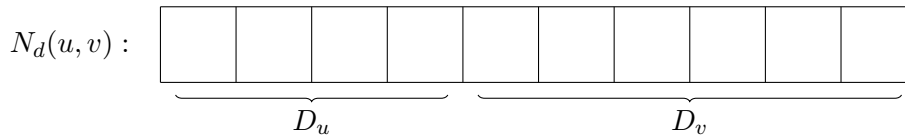


Abbildung 3.1: Beispiel für einen Tausch mit der Variante **Permutation**. Dabei wird das Array der disjunkten Nachbarschaft  $N_d(u, v)$  zufällig permutiert. Die ersten  $|D_u|$  Elemente werden der Nachbarschaft von  $u$  zugeordnet, die restlichen  $|D_v|$  zur Nachbarschaft von  $v$ .

## 3.2 Tauschen der Nachbarn

Im vorherigen Teil wurde beschrieben, wie man die gemeinsame und die disjunkte Nachbarschaft zweier Knoten  $u$  und  $v$  bestimmt. Nun beschäftigen wir uns damit, wie man die Knoten der disjunkten Nachbarschaft zufällig tauscht. Als Eingabe stehen die Arrays  $N_d(u, v)$ , welches alle Knoten aus der disjunkten Nachbarschaft enthält und  $N_c(u, v)$ , das die gemeinsamen Nachbarn enthält, zur Verfügung. Weiterhin seien  $\deg(u)$  und  $\deg(v)$  die ursprünglichen Knotengrade. Zusätzlich definieren wir uns die Mengen  $D_u = N_d(u, v) \cap N(u)$ , in der die disjunkten Nachbarn von Knoten  $u$  liegen, und  $D_v = N_d(u, v) \cap N(v)$ , in der die disjunkten Nachbarn von  $v$  liegen. Die anfänglich leeren Arrays, in denen die Ausgabe —also die neuen Nachbarschaften von  $u$  und  $v$ — zurückgegeben werden soll, bezeichnen wir als  $N'(u)$  und  $N'(v)$ . Wir betrachten zwei unterschiedliche Möglichkeiten.

Die erste Idee besteht darin, das Array der disjunkten Nachbarschaft zufällig zu permutieren, sodass jedes Element an einer zufälligen Position steht. Um nun die beiden „neuen“ Nachbarschaften von  $u$  und  $v$  zu erstellen, werden zuerst die Knoten aus der gemeinsamen Nachbarschaft in die leeren Arrays  $N'(u)$  und  $N'(v)$  kopiert. Dann werden die ersten  $|D_u|$  Elemente aus dem permutierten Array in  $N'(u)$  kopiert, die restlichen in  $N'(v)$ . Somit haben die Nachbarschaften durch den Tausch ihre ursprüngliche Größe nicht verändert, es gilt  $|N'(u)| = \deg(u)$  und  $|N'(v)| = \deg(v)$ . Zur besseren Veranschaulichung ist in Abbildung 3.1 ein Beispiel zu sehen.

Bei diesem Verfahren fällt jedoch auf, dass einige Elemente beim Permutieren unnötig vertauscht werden. Für jedes Element ist es eigentlich nur entscheidend, ob es unter den ersten  $|D_u|$  liegt (also zum Array  $N'(u)$  hinzugefügt wird) oder nicht. Auf welcher Position es genau in diesen Bereichen liegt, ist nicht relevant. Ohne Beschränkung der Allgemeinheit gelte  $N(u) \leq N(v)$ . Dann kann man also die Laufzeit dieser Variante verbessern, indem nicht das ganze Array der disjunkten Nachbarschaft zufällig permutiert wird, sondern nur die ersten  $|D_u|$  Elemente zufällig gewählt werden. Dies setzt die Funktion `random_bipartition_shuffle` um.

Ein Nachteil dieser Methode besteht jedoch darin, dass durch das zufällige Vertauschen die beiden resultierenden Arrays  $N(u)$  und  $N(v)$  im Allgemeinen nicht mehr sortiert sind.

Damit wird die im Abschnitt 3.1 beschriebene Variante eventuell verletzt. Möchte man die Vorsortierung aufrechterhalten, müssen somit die beiden Arrays in einem letzten Schritt nochmals sortiert werden. Wir nennen diese Variante **Permutation**.

Die zweite Möglichkeit, die wir betrachten, werden wir als **Distribution** bezeichnen. Die Idee besteht dabei, dass wir über jedes Element des Arrays  $N_d(u, v)$  iterieren und die Wahrscheinlichkeit  $p$  berechnen, mit der das Element in die Nachbarschaft von  $u$  (beziehungsweise  $v$ ) eingefügt werden soll. Dann wird in einem Bernoulli-Experiment mit Wahrscheinlichkeit  $p$  ein Zufallsbit gezogen. Je nachdem welchen Wert das Zufallsbit hat, wird das Element dann entweder in  $N'(u)$  oder in  $N'(v)$  kopiert. Dies wird so lange wiederholt bis eines der beiden Arrays seine maximale Kapazität erreicht hat.

Um die Wahrscheinlichkeit zu berechnen werden am Anfang zwei Variablen  $n_u$  und  $n_v$  initialisiert, welche den Kapazitäten der beiden Arrays  $u$  und  $v$  entsprechen, wenn die Elemente aus der gemeinsamen Nachbarschaft nicht berücksichtigt werden. Es gilt also  $n_u = |D_u|$  und  $n_v = |D_v|$ . Damit hat das erste Element des Arrays  $N_d(u, v)$  eine Wahrscheinlichkeit von  $p_u = \frac{n_u}{n_u + n_v}$ , dem Array  $N'(u)$  hinzugefügt zu werden und analog eine Wahrscheinlichkeit  $p_v = \frac{n_v}{n_u + n_v}$ , um in  $N'(v)$  zu gelangen. Offensichtlich gilt  $p_u + p_v = 1$ . Dann wird mit einer der beiden Wahrscheinlichkeiten das Bernoulli-Experiment durchgeführt, wobei es irrelevant ist, welche Wahrscheinlichkeit man dazu wählt, da  $p_u$  genau die Gegenwahrscheinlichkeit von  $p_v$  ist und umgekehrt. Wählt man beispielsweise  $p_u$  und das Experiment liefert eine eins, dann wird das aktuelle Element in  $N'(u)$  kopiert. Dabei hat sich aber offensichtlich die verbleibende Kapazität des Arrays  $N'(u)$  verringert. Also muss der Wert  $n_u$  dekrementiert werden. Dies gilt analog, falls das Element in die Nachbarschaft von  $v$  kopiert wird. Somit ändern sich nach jeder Iteration die Wahrscheinlichkeiten  $p_u$  beziehungsweise  $p_v$ . Gilt nach irgendeinem Zeitpunkt entweder  $n_u = 0$  oder  $n_v = 0$ , steht offenbar in einem der Arrays keine freie Kapazität mehr zur Verfügung. Somit werden die übrigen Elemente, die noch in  $N_d(u, v)$  vorhanden sind, einfach dem anderen Array hinzugefügt.

An dieser Stelle kann man jedoch noch eine Optimierung vornehmen. Da bei dem Bernoulli-Experiment die Wahrscheinlichkeit  $p_u$  —beziehungsweise  $p_v$ — eine rationale Zahl ist, werden zur Berechnung lauffeintensive Gleitkommaoperationen benötigt. Um dies zu umgehen, kann man eine zufällige natürliche Zahl aus dem Intervall  $[0, n_u + n_v)$  ziehen. Anschließend prüft man, ob die gezogene Zahl echt kleiner als  $n_u$  —beziehungsweise  $n_v$ — ist. Wenn dies der Fall ist, fährt man genauso fort, wie wenn das Bernoulli-Experiment eine eins zurückgibt. Auf diese Weise ergeben sich für ein Element die gleichen Wahrscheinlichkeiten in das jeweilige Array zu geraten, wie beim Bernoulli-Experiment. Dabei wird aber ausschließlich **Arithmetik** auf ganzen Zahlen verwendet, welche von der Recheneinheit schneller verarbeitet werden kann.

Ein Vorteil dieser Methode ist, dass die in 3.1 beschriebene Variante der Vorsortierung aufrecht erhalten werden kann. War das Array der disjunkten Nachbarschaft vor Beginn dieser Methode aufsteigend sortiert, dann sind auch die bisherigen Elemente der Arrays  $N'(u)$  und  $N'(v)$  aufsteigend sortiert, da für jedes Element nacheinander entschieden wurde, ob es zur Nachbarschaft von  $u$  oder von  $v$  hinzugefügt wird und dabei die Reihenfolge der Elemente untereinander nicht verändert wurde.

Zum Schluss müssen noch die gemeinsamen Nachbarn zu den Arrays  $N'(u)$  und  $N'(v)$  hinzugefügt werden. Möchte man die Invariante aufrecht erhalten, dann sind die beiden Arrays wie beschrieben schon aufsteigend sortiert. Da auch die Elemente aus  $N_c(u, v)$  aufsteigend sortiert sind, erhält man die endgültigen Arrays von  $N'(u)$  und  $N'(v)$  durch ein Mergen mit  $N_c(u, v)$ . Soll die Invariante jedoch nicht aufrecht erhalten werden, reicht es aus, die Elemente aus  $N_c(u, v)$  jeweils an das Ende der beiden Arrays zu kopieren.

Wird die Variante vorsortiert nicht verwendet, ergibt sich für **Permutation** und **Distribution** die gleiche asymptotische Laufzeit von  $\mathcal{O}(|N(u)| + |N(v)|)$ . Beim Verwenden der vorsortiert Variante ändert sich die asymptotische Laufzeit für **Distribution** nicht, da das Mergen ebenfalls in linearer Zeit ausgeführt werden kann. Bei **Permutation** hingegen müssen die beiden Arrays nochmals sortiert werden. Somit entsteht eine Laufzeit von  $\mathcal{O}(|N(u)| \cdot \log(|N(u)|) + |N(v)| \cdot \log(|N(v)|))$ .

**In Kapitel 4.5 wird sich herausstellen, dass der Algorithmus Distribution ein Teil der Variante ist, welche insgesamt die beste Laufzeit für einen Curveball Tausch besitzt. Dabei wird die Variante mit der Vorsortierung genutzt. Aus diesem Grund ist die Methode Distribution in Form von Pseudocode im Algorithmus 2 gegeben.**

## 3.3 Curveball Tausch

Wie schon in Abschnitt 2.3 beschrieben, besteht ein Curveball Tausch auf zwei verschiedenen Knoten  $u, v \in V$  ( $u \neq v$ ) daraus, die gemeinsame und disjunkte Nachbarschaft der beiden Knoten zu bestimmen und schließlich die Knoten aus der disjunkten Nachbarschaft zufällig zu tauschen.

Die verschiedenen Methoden, die wir hierfür untersuchen werden, entstehen durch Kombination aller Varianten, die in den Abschnitten 3.1 und 3.2 beschrieben werden. Alle diese Möglichkeiten sind in der Tabelle 3.1 mit ihren jeweiligen asymptotischen Laufzeiten zusammengefasst.

**Algorithmus 2** Distribution

---

```

1: procedure DISTRIBUTION(common, disjoint)
2:   nu ← |U| - |common|                                ▷ Kapazität von u
3:   nv ← |V| - |common|                                ▷ Kapazität von v
4:   i = 0
5:   while i < |disjoint| do
6:      $X \sim \mathcal{B}(\frac{nu}{nu+nv})$     ▷ Zufallsbit Bernoulli verteilt mit Wahrscheinlichkeit  $\frac{nu}{nu+nv}$ 
7:     if X==1 then
8:       U.append(disjoint[i])                            ▷ Füge das Element in U ein
9:       i++
10:      nu- -                                              ▷ aktualisiere die Kapazität
11:     else
12:       V.append(disjoint[i])                            ▷ Füge das Element in V ein
13:       i++
14:       nv- -                                              ▷ aktualisiere die Kapazität
15:   U.merge(common)                                     ▷ Merge U mit der gemeinsamen Nachbarschaft
16:   V.merge(common)                                     ▷ Merge V mit der gemeinsamen Nachbarschaft
17:   return U, V

```

---

	Distribution		Permutation	
vorsortiert	true	false	true	false
SortSort	$\mathcal{O}(l)$	$\mathcal{O}(l \cdot \log(l))$	$\mathcal{O}(l \cdot \log(l))$	$\mathcal{O}(l \cdot \log(l))$
SearchSort	$\mathcal{O}(l \cdot \log(s))$	$\mathcal{O}(l \cdot \log(s))$	$\mathcal{O}(l \cdot \log(l))$	$\mathcal{O}(l \cdot \log(s))$
SortSearch	$\mathcal{O}(s \cdot \log(l))$	$\mathcal{O}(l \cdot \log(l))$	$\mathcal{O}(l \cdot \log(l))$	$\mathcal{O}(l \cdot \log(l))$
SearchSet	$\mathcal{O}(l \cdot \log(s))$	$\mathcal{O}(l \cdot \log(s))$	$\mathcal{O}(l \cdot \log(l))$	$\mathcal{O}(l \cdot \log(s))$
SetSearch	$\mathcal{O}(l \cdot \log(l))$	$\mathcal{O}(l \cdot \log(l))$	$\mathcal{O}(l \cdot \log(l))$	$\mathcal{O}(l \cdot \log(l))$
SearchUSet	$\mathcal{O}(l)^\dagger$	$\mathcal{O}(l)^\dagger$	$\mathcal{O}(l \cdot \log(l))$	$\mathcal{O}(l)^\dagger$
USetSearch	$\mathcal{O}(l)^\dagger$	$\mathcal{O}(l)^\dagger$	$\mathcal{O}(l \cdot \log(l))$	$\mathcal{O}(l)^\dagger$

Tabelle 3.1: Jedes Feld in der Tabelle entspricht einer Variante für einen Curveball Tausch.

Dabei sind jeweils die asymptotischen Laufzeiten der Varianten gegeben. Zur besseren Übersicht sind die Laufzeiten nicht in Abhängigkeit von  $|N(u)|$  und  $|N(v)|$  angegeben, sondern in den Variablen  $l$  und  $s$ , wobei  $l$  der Größe des größeren Arrays entspricht und  $s$  der Größe des kleineren. Es gilt also  $l = \max\{|N(u)|, |N(v)|\}$  und  $s = \min\{|N(u)|, |N(v)|\}$  und folglich  $s = \mathcal{O}(l)$ . Erwartete Laufzeiten sind dabei mit  $^\dagger$  markiert.





## 4 Experimentelle Untersuchung

Wie im vorherigen Kapitel beschrieben, existieren verschiedene Varianten, einen Global-Curveball Tausch durchzuführen. Für das Finden der gemeinsamen Nachbarschaft betrachten wir sieben verschiedene Methoden, für das Tauschen der Nachbarschaft zwei. Weiterhin prüfen wir, ob es sinnvoll ist, die Variante der Vorsortierung zu nutzen oder nicht. Kombiniert man all diese Möglichkeiten erhält man somit insgesamt 28 verschiedene Varianten einen Global-Curveball Tausch umzusetzen. In diesem Kapitel diskutieren wir, welche der Varianten ausgewählt werden sollte.

### 4.1 Versuchsaufbau

Um die einzelnen Varianten auf ihre Laufzeit zu testen, wird ein Versuch aufgebaut. Dazu werden alle Methoden in C++ programmiert. Diese werden dann auf unterschiedlichen Instanzen getestet und mittels Google Benchmark [1] wird die Zeit gemessen, die für das Ausführen benötigt wurde.

Wie beschrieben benötigen die Methoden als Eingabe keinen Graph, sondern lediglich zwei Arrays, welche jeweils die Nachbarschaft zweier Knoten repräsentieren. Ohne Beschränkung der Allgemeinheit nennen wir das größere Array **large**, das kleinere **small**. Um möglichst gut zu erkennen, wie sich die verschiedenen Methoden bei unterschiedlichen Eingaben verhalten, messen wir die Laufzeiten für eine ganze Reihe an Instanzen. Um ein gutes Bild zu erhalten, sollten folgende Fälle abgedeckt sein:

- Beide Arrays liegen in der gleichen Größenordnung
- Eines der Arrays ist wesentlich größer als das andere
- Der Anteil an gemeinsamen Elementen ist groß
- Der Anteil an gemeinsame Elementen ist klein

Um dies zu erreichen, führen wir mehrere Runden durch, in denen das Array **large** von anfänglich 128 Elementen auf bis zu 4.000.000 Elementen vergrößert wird. Innerhalb jeder Runde werden mehrere Durchläufe durchgeführt, bei denen Array **small** eine Größe zwischen 32 Elementen und der jeweiligen Größe von **large** hat. Für jeden dieser Durchgänge werden die beiden Arrays mit zufälligen, aber paarweise verschiedenen Werten befüllt, bis sie die entsprechende Größe haben. Dabei existiert jedoch kein Element, welches in beiden Arrays enthalten ist, was dazu führen würde, dass ein Global-Curveball Tausch nichts

verändern würde. Um sicherzugehen, dass die gemeinsame Nachbarschaft nicht leer ist, müssen somit Elemente des einen Arrays in das andere hineinkopiert werden. Damit die Größe der gemeinsamen Nachbarschaft variiert wird, werden zuerst 10, dann 25, 50 und 75 Prozent der Elemente kopiert.

Eine einzelne Test-Messung lässt sich somit durch ein Tripel (**large, small, fraction**) beschreiben, wobei large und small für die Größe der jeweiligen Arrays stehen. Der Wert **fraction** steht dabei für den prozentualen Anteil der gemeinsamen Elemente an small.

### 4.2 Messung

Auf die im vorherigen Abschnitt beschriebene Weise werden die verschiedenen Instanzen erstellt und mittels Google Benchmark die Zeit gemessen. Aus Zeitgründen werden jedoch nicht alle Werte für large und small erstellt. Deshalb verdoppeln wir in jedem Schritt die Werte von large und small, anstatt sie um eins zu inkrementieren. Somit ergeben sich insgesamt 672 Instanzen, auf denen die Laufzeiten der einzelnen Methoden gemessen werden. Um Rauschen zu verringern, wird dabei jede Variante so oft wiederholt bis mindestens 100ms gemessen wurden. Um eventuelle Messfehler zu minimieren, wird dieser Vorgang jeweils fünf mal wiederholt. Als resultierender Messwert dient der Mittelwert dieser Wiederholungen.

Alle Messungen wurden auf einem Rechner mit 64GB Arbeitsspeicher und einem Prozessor vom Typ Intel(R) Xeon(R) CPU E5-2630 v3 @ 2.40GHz, mit 8 Kernen, Hyperthreading und einem Cache von 20 MB, ausgeführt. Mit dieser Konfiguration hat die Dauer für alle 28 Varianten in Summe ungefähr 19 Stunden betragen.

### 4.3 Auswertung

Die ermittelten Messdaten werden schließlich mit Hilfe von Jupyter Notebook [2] ausgewertet. Dabei handelt es sich um ein Tool, mit dem man Python-Programme auf einfache Art und Weise erstellen und ausführen kann. Innerhalb von Python nutzen wir die Bibliotheken **Matplotlib** und **pandas**, um die Daten zu analysieren und grafisch aufzuarbeiten.

Zuerst betrachten wir für jede Instanz, welche Methode am schnellsten war. Interessant sind dann jeweils die Methoden, für die häufig die geringste Laufzeit gemessen wurde. In Abbildung 4.1 ist dazu ein Balkendiagramm gegeben. Dabei sieht man eindeutig, dass die Variante (**SearchUSet, false, Permutation**) mit Abstand auf den meisten Instanzen die schnellste Laufzeit aller Methoden hat. Die 430 Instanzen auf welchen (**SearchUSet, false, Permutation**) die schnellste Methode ist, entsprechen einem Anteil von rund 64%. Mit 179 „gewonnenen“ Instanzen folgt die Variante (**SortSort, true, Distribution**), was einem Anteil von 27% entspricht. Zusammen ist somit in etwa 91% aller getesteter Instan-

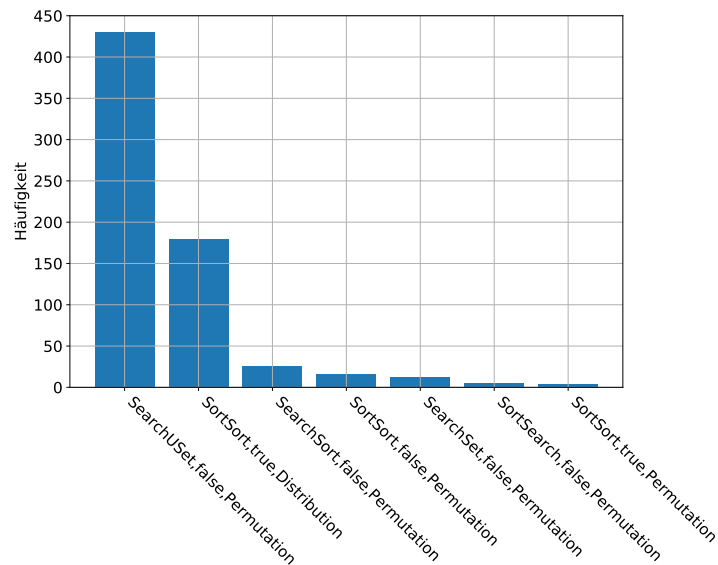


Abbildung 4.1: Vergleich der Varianten, welche am häufigsten die geringste Laufzeit hatten

zen eine dieser beiden Methoden die Schnellste gewesen. Daher liegt der Schluss nahe, sich beim Suchen der „besten“ Variante, auf diese beiden Methoden zu beschränken.

Um nicht fälschlicherweise „gute“ Methoden auszuschließen, betrachten wir einen weiteren Plot in Abbildung 4.2. Um diesen Plot zu erstellen, wurde jede Variante einzeln betrachtet. Dann wird für jede Instanz bestimmt, welche Variante die kürzeste Laufzeit hat und der Quotient aus dieser Laufzeit und der Laufzeit der betrachteten Variante berechnet. Dieses Verhältnis wird als Slowdown bezeichnet und gibt an, um welchen Faktor die Variante langsamer als die schnellste ist. Die Slowdowns zu jeder Instanz werden schließlich aufsteigend sortiert und als Kurve in den Plot eingefügt. Da die Slowdowns jedoch für jede Variante unabhängig voneinander sortiert werden, geht dadurch die Ordnung über die Instanzen verloren. Somit entspricht eine Stelle auf der horizontalen Achse nicht für jede Variante der gleichen Instanz. Einen „guten“ Algorithmus erkennt man in diesem Plot, wenn die entsprechende Kurve lange nahe der eins verläuft.

Dieser Plot legt ebenfalls nahe, sich auf die beiden Varianten (**SearchUSet, false, Permutation**) und (**SortSort, true, Distribution**) zu konzentrieren, da die beiden Kurven am wenigsten stark wachsen und damit die Slowdowns vergleichsweise klein sind. Jedoch lässt sich auch hier nicht bestimmen, welche der beiden Varianten die bessere ist. Ein Vorteil von (**SearchUSet, false, Permutation**) ist, dass die Methode auf den meisten Instanzen einen Slowdown von eins hat — was wir ja auch schon in Abbildung 4.1 gesehen haben — und damit langsamer anwächst. Ein Nachteil liegt aber darin, dass der Slowdown für manche Instanzen eine Größe von bis zu 10.0 erreicht, während der Slowdown von (**SortSort, true, Distribution**) durch den maximalen Wert von 3.5 beschränkt ist (in Abbildung 4.2 als gestrichelte Linie eingezeichnet).

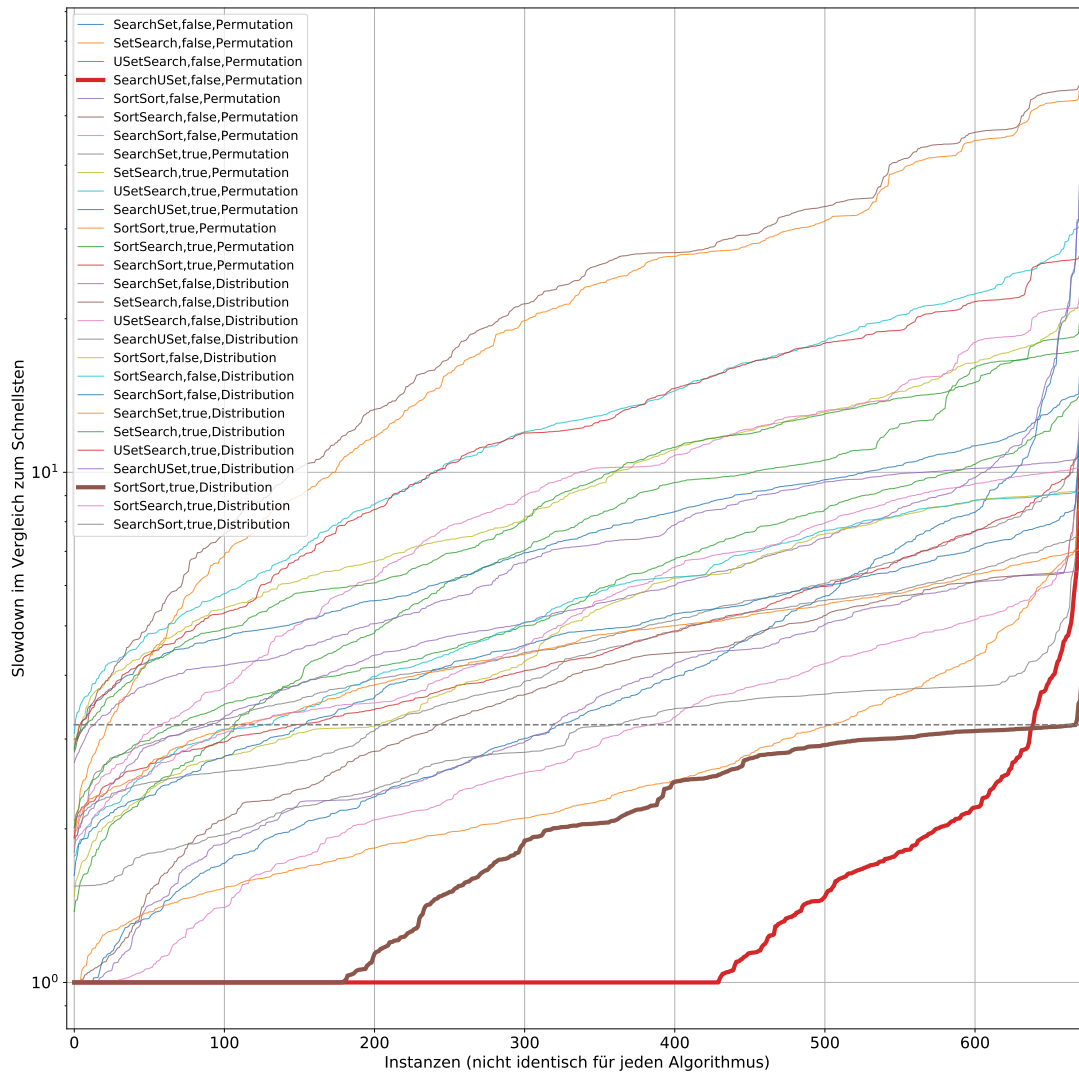


Abbildung 4.2: Slowdown der einzelnen Varianten im jeweiligen Vergleich zur Variante mit der geringsten Laufzeit

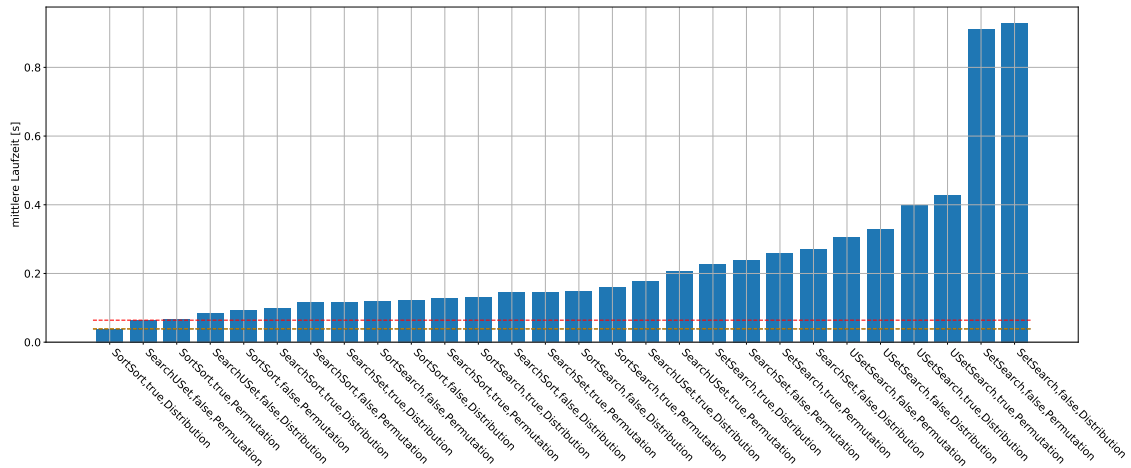


Abbildung 4.3: Mittlere Laufzeiten der Varianten über allen Instanzen

Dieser Nachteil spiegelt sich ebenfalls in Abbildung 4.3 wieder. Für diesen Plot wurde über alle Instanzen für jede Variante jeweils die mittlere Laufzeit bestimmt. Obwohl es nicht in den meisten Fällen die schnellste Variante ist, hat (**SortSort, true, Distribution**) die kleinste mittlere Laufzeit mit rund 38 Millisekunden. Auf Platz zwei folgt (**SearchUSet, false, Permutation**) mit etwa 64 Millisekunden, was schon einer Abweichung von ungefähr 60% entspricht. Auch in diesem Plot sieht man deutlich, dass es sich nicht lohnt, noch weitere Varianten zu betrachten. Zwar hat auch (**SortSort, true, Permutation**) eine mittlere Laufzeit, die annähernd so groß ist wie die Laufzeit von (**SearchUSet, false, Permutation**), aber auch diese kommt nicht an die Schnellste heran. Alle anderen Varianten haben eine deutlich größere mittlere Laufzeit.

Abschließend betrachten wir noch die zwei ausgewählten Varianten im direkten Vergleich. Hierzu wurden in Abbildung 4.4 auf der horizontalen Achse die getesteten Instanzen aufgetragen und dazu die jeweiligen Laufzeiten von (**SortSort, true, Distribution**) und (**SearchUSet, false, Permutation**) als Kreuze eingezeichnet. Man sieht dabei, dass sich die Laufzeiten in den meisten Instanzen nicht so stark unterscheiden. Dies sind vor allem die Instanzen, bei denen der Unterschied zwischen large und small nicht so groß ist. In den Instanzen, in denen sich die Werte für small und large stark unterscheiden, ist jedoch ein deutlicher Vorteil von (**SortSort, true, Distribution**) zu erkennen. Auch bei den „großen“ Instanzen mit Werten von small > 500.000 hat diese Variante einen deutlichen Laufzeitvorteil. Auf der Instanz (4.194.304, 4.194.304, 75) beispielsweise hat (**SearchUSet, false, Permutation**) eine Laufzeit von circa 1,628 Sekunden, während (**SortSort, true, Distribution**) nur etwa 0,146 Sekunden benötigt. Der Slowdown beträgt für diese Instanz also in etwa einem Wert von 11.

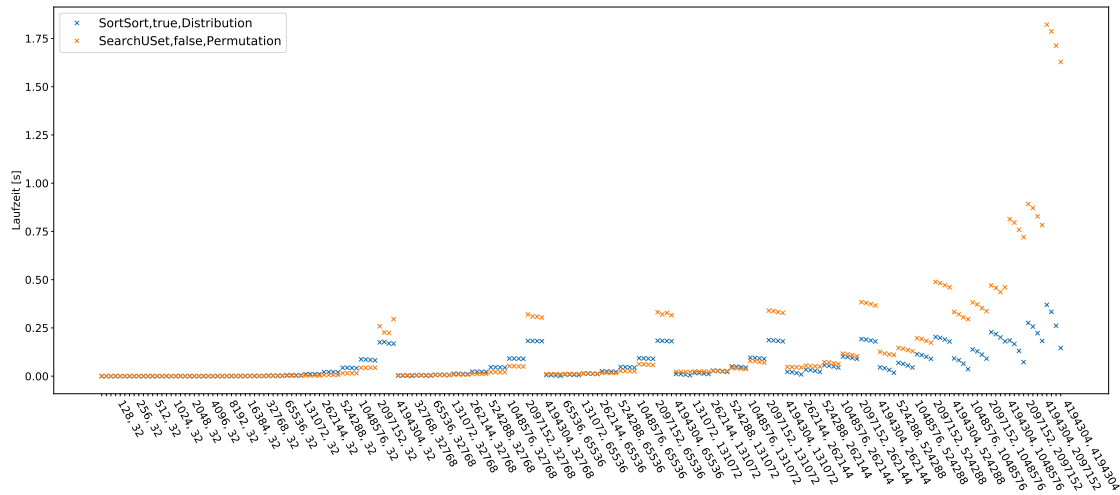


Abbildung 4.4: Vergleich der Laufzeiten der zwei besten Varianten auf ausgewählten Instanzen. Die Instanzen sind nach aufsteigenden Werten für small sortiert. Aus Gründen der Übersichtlichkeit wird bei der Beschriftung der Instanzen der Teil fraction weggelassen, die Instanzen werden nur mit large, small bezeichnet. Weiterhin wurden der Übersichtlichkeit wegen die Instanzen aus dem Bereich  $32 < \text{small} < 32768$  ausgelassen, da sie das gleiche Bild wie die üblichen Instanzen zeigen.

## 4.4 Diskussion der Ergebnisse

Es gilt zu überprüfen, ob die ermittelten Ergebnisse zu erwarten waren, indem wir sie mit den asymptotischen Laufzeiten aus der Tabelle 3.1 vergleichen. Laut den asymptotischen Laufzeiten sollte die Variante mit **SortSort**, **Distribution** und vorsortiert am schnellsten sein. Dies sieht man auch bei den mittleren gemessenen Laufzeiten aus Abbildung 4.3. Dabei liegt diese Variante deutlich auf dem ersten Platz. Die dazugehörige Variante mit der Tausch-Methode **Permutation** liegt auf dem dritten Platz, obwohl sie im Vergleich eine der schlechtesten asymptotischen Laufzeiten hat. Der Grund für diese Diskrepanz liegt vermutlich darin, dass diese asymptotische Laufzeit durch das einmalige Sortieren am Ende der Methode entsteht. In anderen Varianten, welche die gleiche asymptotische Laufzeit haben, wird jedoch eventuell häufiger sortiert oder eine Datenstruktur verwendet, die eine höhere Laufzeit produziert.

Auffällig ist, dass die Varianten mit **USetSearch** jeweils deutlich langsamer sind als die analogen Varianten, welche **SearchUSet** verwenden, obwohl die erwarteten asymptotischen Laufzeiten gleich sind. Dies liegt höchstwahrscheinlich an der Datenstruktur **unordered\_set**, einer Hash-Tabelle. Bei dieser Datenstruktur sind die Laufzeiten stark abhängig vom Füllgrad, also dem Anteil der gespeicherten Elemente im Bezug zur Größe der Hash-Tabelle. Da bei **USetSearch** die Elemente des größeren Arrays in die Hash-Tabelle eingefügt werden, ist der Füllgrad dementsprechend auch größer, was zu der schlechteren

Laufzeit führt. Im Gegensatz dazu ist die Methode, welche **SearchUSet**, **Permutation** und keine Vorsortierung verwendet, die im Mittel zweitschnellste aller gemessenen Varianten, da sich hierbei weniger Elemente in der Hash-Tabelle befinden und der Füllgrad demnach geringer ist. Somit wird auch eher die Laufzeit des Erwartungswerts erreicht.

Mit einem ähnlichen Argument lassen sich auch die schlechten Laufzeiten der Varianten, welche **SetSearch** verwenden, erklären. Hierbei wird ebenfalls das größere Array in die Datenstruktur eingefügt, was zu der schlechteren Laufzeit führt. Dabei fällt jedoch noch auf, dass vor allem die Varianten, bei welchen nicht vorsortiert wird, die mit Abstand längsten Laufzeiten besitzen. Als Begründung dient hier, dass beim Erstellen des Binärbaums für jeden Knoten, welcher eingefügt wird, eine Speicherallokation ausgeführt wird, was sehr laufzeitintensiv ist. Ist die Eingabe bereits sortiert, kann dies von der Implementierung des Binärbaums ausgenutzt werden.

Zusammenfassend wirkend die gemessenen mittleren Laufzeiten also plausibel.

## 4.5 Auswahl der besten Variante

Abschließend muss anhand der Messdaten entschieden werden, welche Variante zum Einsatz für einen Curveball Tausch am besten geeignet ist. Zusammenfassend haben wir im Abschnitt 4.3 festgestellt, dass nur die Varianten (**SortSort**, **true**, **Distribution**) und (**SearchUSet**, **false**, **Permutation**) zur Auswahl stehen. Während die eine Variante am häufigsten die geringste Laufzeit hat, liegt die andere bei der durchschnittlichen Laufzeit weiter vorne. Dies liegt vor allem daran, dass sich die Laufzeiten bei den Instanzen, auf denen (**SearchUSet**, **false**, **Permutation**) „gewinnt“, kaum unterscheiden. Unter den anderen Instanzen gibt es jedoch welche, bei denen (**SortSort**, **true**, **Distribution**) bis auf einen Faktor von circa 11 schneller ist.

Um ein bestmögliches Laufzeitverhalten für einen Curveball Tausch zu erreichen, könnte man auf die Idee kommen, beide Varianten zusammen zu nutzen. Man könnte sich eine Heuristik überlegen, die jeweils angibt auf welcher Instanz man welche Variante verwenden sollte. Somit würde bei jedem Curveball Tausch abhängig von der Eingabe, also den Nachbarschaften, entschieden werden, welche der beiden Instanzen man benutzt. Das Problem dabei liegt jedoch darin, dass bei diesen Varianten einmal die vorsortiert Invariante genutzt wird und einmal nicht. Dies ist allerdings nicht beides gemeinsam möglich. Entweder hält man die Nachbarschaften immer sortiert, oder nicht. Man muss sich also für eine Möglichkeit der Invariante entscheiden. Dadurch ändert sich dann aber zwangsläufig eine der beiden Varianten. Entscheidet man sich die Nachbarschaften sortiert zu halten, würde (**SearchUSet**, **false**, **Permutation**) zu (**SearchUSet**, **true**, **Permutation**) werden, andernfalls würde sich (**SortSort**, **true**, **Distribution**) zu (**SortSort**, **false**, **Distribution**) verändern. Diese beiden „veränderten“ Varianten haben aber jeweils deutlich schlechtere

Laufzeiten als die ursprünglichen.

Es ist also nicht sinnvoll möglich, die beiden Varianten miteinander zu kombinieren. Wir müssen uns also auf eine Variante festlegen. Dies ist die Variante (**SortSort, true, Distribution**), da sie im Vergleich zur Alternative — wie schon beschrieben — in kaum einer Instanz eine wesentlich schlechtere Laufzeit hatte, jedoch auf manchen Instanzen wesentlich bessere Laufzeiten. Außerdem ist es die Variante mit der geringsten mittleren Laufzeit. Ein Vorteil dieser Variante neben der Laufzeit liegt noch in der Einfachheit. So werden lediglich die beiden Arrays sortiert und linear durchlaufen. Es muss keine weitere Datenstruktur erstellt werden — wie bei der anderen Variante das `unordered_set` — und damit wird auch kein zusätzlicher Speicherplatz verbraucht.

### 4.6 Vergleich zum Standard Curveball

In einem letzten Experiment wird geprüft, wie sich die Laufzeit der bipartiten Global-Curveball Variante, sowohl im parallelen als auch im sequenziellen Fall, im Vergleich zum Curveball auf massiven Graphen verhält.

Dazu werden wir verschiedene Test-Instanzen erstellen. Als Grundlage dient ein Netflix Datensatz [10], welcher Nutzer- und Film-Knoten enthält, wobei eine gerichtete Kante von einem Film zu einem Nutzer gezogen wird, wenn dieser den Film gut bewertet hat. Damit liegen die Film-Knoten in einer Partitionsklasse und die Nutzer-Knoten in der anderen. Aus diesem Graph werden drei Subgraphen erstellt, wobei jeweils 1000, 10.000 und 100.000 zufällige Nutzer-Knoten ausgewählt werden und deren vollständige Nachbarschaft hinzugefügt wird. Für jeden dieser drei Graphen gibt es zwei Varianten. Der Unterschied zwischen den beiden Varianten liegt darin, welche der beiden Partitionsklassen aktiv sind, also auf welcher Partitionsklasse die Curveball Tausche ausgeführt werden. Somit ergeben sich sechs Instanzen.

Auf diesen wird die in dieser Arbeit erarbeitete bipartite Version des Global-Curveball ausgeführt. Dazu müssen die einzelnen Graphen jedoch jeweils in einen ungerichteten Graph transformiert werden.

Als Vergleich verwenden wir an dieser Stelle nicht den Standard Global-Curveball Algorithmus. Dies liegt daran, dass bei diesem Algorithmus auf bipartiten Graphen die Eigenschaft der Bipartitheit verletzt werden könnte und zusätzlich viele unnötige Curveball Tausche ausgeführt werden. Auf einem bipartiten Graphen liegen in der disjunkten Nachbarschaft zweier Knoten, welche nicht aus der gleichen Partitionsklasse stammen, entweder keine Knoten, oder die beiden Knoten selbst. Führt man nun ein Curveball Tausch auf diesen beiden Knoten aus, verändert sich entweder (im Falle einer leeren disjunkten Nachbarschaft) nichts oder es könnte passieren, dass ein Knoten sich selbst in seine Nach-



barschaft getauscht bekommt. Damit hätte dieser Knoten eine Kante zu sich selbst, was es jedoch auf bipartiten Graphen nicht geben darf.

Deshalb wird als Vergleich der Standard Curveball Algorithmus [7] sowohl auf den ungerichteten als auch auf den gerichteten Graphen ausgeführt. Um die Probleme, welche wir für den Global-Curveball Algorithmus beschrieben haben, zu umgehen, führen wir die einzelnen Curveball Tausche ausschließlich auf Knoten einer Partitionsklasse aus.

Um zusätzlich zu sehen, wie stark die Parallelisierung die Laufzeit des bipartiten Global-Curveball beeinflusst, werden wir weiterhin eine sequenzielle Variante des bipartiten Global-Curveball untersuchen.

Alle vier beschriebenen Varianten werden nacheinander auf dem gleichen Prozessor ausgeführt, welcher 16 Kerne besitzt. Es werden bei jeder Variante insgesamt 10 Globale Tausche vorgenommen. In Abbildung 4.5 sind die gemessenen Laufzeiten in Form eines Balkendiagramms grafisch dargestellt. Um eventuelle Messfehler zu verringern, wurde jede Messung zehn mal wiederholt. Als Datenpunkte sind jeweils die Mittelwerte der Messungen aufgetragen.

Dabei fällt auf, dass sich die Laufzeiten von Curveball und bipartitem Global-Curveball auf den Instanzen mit über 100.000 Knoten deutlich unterscheiden. Auf diesen Instanzen erreicht der bipartite Global-Curveball einen Speedup von bis zu 17. Während die Laufzeit der angepassten Curveball Variante auf dem gerichteten Graphen in etwa 9 Sekunden und auf dem ungerichteten etwa 10,5 Sekunden beträgt, liegt sie beim bipartiten Global-Curveball bei lediglich 0,6 Sekunden. Dies entspricht —auf dieser Instanz— einem Speedup von ungefähr 17. Auf den Instanzen mit ungefähr 25.000 Knoten wird ein Speedup zwischen 3 und 5 erreicht. Bei den kleineren, etwa 10.000 Knoten umfassenden Instanzen, besitzt die Curveball Implementierung jedoch eine leicht geringere Laufzeit.

Für die sequentielle Variante des Global-Curveball lässt sich sagen, dass die Laufzeiten auf jeder Instanz um einen annähernd konstanten Faktor geringer sind, als die von den beiden Curveball Varianten. Dies liegt vor allem daran, dass ein einzelner Curveball Tausch auf bipartiten Graphen einfacher aufgebaut ist, als auf allgemeinen Graphen. So müssen lediglich die disjunkten Nachbarschaften ermittelt und getauscht werden, **während...?**. Auf der größten Instanz wird somit ein Speedup von ungefähr 2 erreicht. Im Vergleich mit der parallelen Version des bipartiten Global-Curveball, besitzt dieser in den meisten Fällen eine geringere Laufzeit, als die sequenzielle Variante. Dies liegt an der Parallelisierung und war damit zu erwarten. Einzig auf den Instanzen mit lediglich 10.000 Knoten, hat die sequenzielle Variante eine geringere Laufzeit. Dies liegt vermutlich an einem Overhead, der durch die Koordination der einzelnen Parallelen Threads durch OpenMP entsteht.

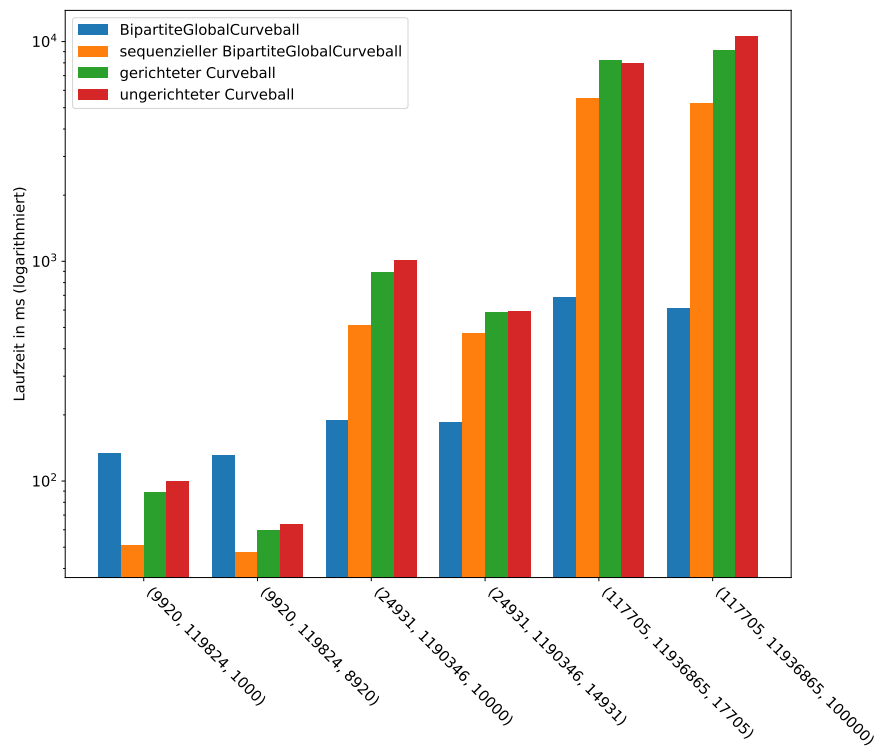


Abbildung 4.5: Laufzeitvergleich von bipartitem Global-Curveball und der abgeänderten Version des Curveballs. Auf der horizontalen Achse sind die einzelnen Instanzen als Tripel aufgetragen. Die erste Stelle steht dabei für die Knotenanzahl des Graphen, die zweite Stelle für die Anzahl an Kanten und die dritte für die Anzahl der Knoten aus der aktiven Partition.

Insgesamt fällt jedoch auf, dass die Laufzeiten bei wachsender Größe für die Curveball Variante stark ansteigen, wobei die Laufzeit vom bipartiten Global-Curveball im Vergleich dazu relativ konstant bleiben.

## 5 Fazit und Ausblick

Zum Abschluss dieser Arbeit lässt sich feststellen, dass das Ziel der Anpassung von Global-Curveball an bipartite Graphen zur Reduzierung der Laufzeit erreicht werden konnte. Durch die Parallelisierung der einzelnen Curveball Tausche wird der Algorithmus derart beschleunigt, dass — wie in Kapitel 4.6 gezeigt — auf manchen Testinstanzen ein Speedup von bis zu einem Wert von 17 erreicht wird, was ein äußerst befriedigendes Resultat darstellt. Um eine generellere Aussage über den Speedup vom bipartiten Global-Curveball im Vergleich zum Standard Global-Curveball zu treffen, müsste man jedoch noch deutlich mehr Laufzeitmessungen auf verschiedenen Instanzen durchführen.

Im Bezug auf die experimentelle Auswertung zur Bestimmung der schnellsten Methode einen Curveball Tausch umzusetzen, könnte man noch weitere Untersuchungen vornehmen.

Zum einen werden die Varianten nur auf Instanzen getestet, welche Nachbarschaften mit maximal 4 Millionen Knoten enthalten. Je nachdem auf welchen Graphen der Algorithmus angewendet wird, könnte es sinnvoll sein auch Instanzen mit größeren Nachbarschaften zu betrachten. Lassen sich die möglichen Eingabegraphen für ein spezielles Einsatzgebiet genauer spezifizieren, wäre es sinnvoll, die verschiedenen Varianten auch nur auf solchen Graphen zu testen. Dann bleibt zu überprüfen, ob die ausgewählte Variante immer noch die geringste Laufzeit besitzt.

Zum anderen könnte man die Benchmarks zusätzlich noch auf Rechnern mit anderer Hardware ausführen. Dabei sind vor allem andere Prozessorarchitekturen interessant.

## TODO:

- Curveball bezeichnungen undso einheitlich?!
- Anführungszeichen suchen!! + Leerzeichen dahinter
- noch was rotes? oder was blaues?
- vektor/array?!
- $\text{\LaTeX}$ format ?!

# Literaturverzeichnis

- [1] Google Benchmark. <https://github.com/google/benchmark>. **Abgerufen am 04.03.2020.**
- [2] Jupyter Notebook. <https://jupyter.org/>. **Abgerufen am 04.03.2020.**
- [3] NetworKit. <https://networkit.github.io/>. **Abgerufen am 04.03.2020.**
- [4] OpenMP. <https://www.openmp.org/>. **Abgerufen am 09.03.2020.**
- [5] C. J. Carstens. *Topology of Complex Networks: Models and Analysis*. PhD thesis, RMIT University, 2016.
- [6] Corrie Jacobien Carstens, Annabell Berger, and Giovanni Strona. Curveball: a new generation of sampling algorithms for graphs with fixed degree sequence. *CoRR*, abs/1609.05137, 2016.
- [7] Corrie Jacobien Carstens, Michael Hamann, Ulrich Meyer, Manuel Penschuck, Hung Tran, and Dorothea Wagner. Parallel and I/O-efficient randomisation of massive networks using global curveball trades. 112:11:1–11:15, 2018.
- [8] P. Erdős and A. Rényi. On random graphs. *Publicationes Mathematicae Debrecen*, 1959.
- [9] E. N. Gilbert. Random graphs. *Ann. Math. Statist.*, 30(4):1141–1144, 12 1959.
- [10] Kaggle. Netflix Prize data. <http://www.kaggle.com/netflix-inc/netflix-prize-data>. **Abgerufen am 09.03.2020.**
- [11] Manuel Penschuck, Ulrik Brandes, Michael Hamann, Sebastian Lamm, Ulrich Meyer, Ilya Safro, Peter Sanders, and Christian Schulz. Recent advances in scalable network generation, 2020.
- [12] Christian L. Staudt, Aleksejs Sazonovs, and Henning Meyerhenke. Networkit: A tool suite for large-scale complex network analysis. *Network Science*, 4(4):508–530, 2016.



# Abbildungsverzeichnis

2.1	Beispiel eines bipartiten Graphen . . . . .	12
2.2	Skizze eines Curveball Tausches auf einem bipartiten Graphen . . . . .	14
2.3	Skizze eines Curveball-Tausches auf den Arrays . . . . .	15
2.4	Global-Curveball auf dem zufällig permutierten Partitions-Array . . . . .	16
3.1	Beispiel eines Tausches der disjunkten Nachbarschaft mit der Variante <b>Per- mutation</b> . . . . .	20
4.1	Vergleich der Varianten, welche am häufigsten die geringste Laufzeit hatten	27
4.2	Slowdown der einzelnen Varianten im jeweiligen Vergleich zur Variante mit der geringsten Laufzeit . . . . .	28
4.3	Mittlere Laufzeiten der Varianten über allen Instanzen . . . . .	29
4.4	Laufzeitvergleich der zwei besten Varianten auf ausgewählten Instanzen . .	30
4.5	Laufzeitvergleich von bipartitem Global-Curveball und einer abgeänderten Variante von Curveball . . . . .	34





# Tabellenverzeichnis

3.1	Aufzählung aller Methoden, welche für einen Curveball Tausch betrachtet werden. Dazu sind jeweils die asymptotischen Laufzeiten gegeben. . . . .	23
-----	--	----